

## 地震波の地域的不均一性が埋設管路の応答に及ぼす影響について

熊本大学工学部 正員 秋吉 順  
 八代工業高等専門学校 正員○前田邦彦  
 熊本大学工学部 正員 松本英敏

1. まえがき 地中埋設管の耐震性について従来から多くの研究成果が発表されているが、総手に被害が集中する説明としては、管と地盤とのすべりに着目した研究が報告されている<sup>1)</sup>。一方、管路への入射地震波に関して、その振幅・位相の分布が地盤構造等の変化に応じて一様でないために、管体の歪が増大することは十分予想される。そこで本研究では、位相は同一であるが振幅の分布が一様でない地震波を考え、これが水平な埋設管路に入射するときの管路のすべりと応答を波動論的手法より求め、振幅の地域的不均一性が管路の応答に与える影響を検討した。なお、振幅の分布形としては、単調な確定曲線を数種類与え、従来の波動論的な近似解に振幅の不均一性の効果が見通しよく入る程度の近似解を導いた。

2. 解析手法 図1のように弾性地盤中に水平に埋設された一様管路に水平方向から管軸に対して角度θでP波が入射する場合を考える。このP波は、図2のように同位相で振幅の分布が一様でないものとし、その関数形を $\xi(z)$ とすれば、軸方向入射成分 $w_1'$ は近似的に次式のように表わされる。

$$\left. \begin{aligned} w_1' &= (1 - \alpha_1/\alpha_2) w_{21} - i(4\zeta_s/\pi\alpha_2) e^{i(\omega t - k_1 z - \phi_0)} \\ w_{21} &= w_1 \xi(z') \cos \phi \cdot e^{i(\omega t - k_1 z)} \end{aligned} \right\} \quad \dots \quad (1)$$

ここに、 $w_1'$ : P波変位振幅、 $\alpha_1 = \mu \beta_2 \cdot J_1(\beta_2 r_0)/J_0(\beta_2 r_0)$ 、 $\beta_2 = k_1 r_0 \sin \phi = (\omega/v_p) \sin \phi$ 、 $\omega$ : 円振動数、 $k_1$ : P波の波数、 $v_p$ : P波速度、 $\mu$ : 土のせん断弾性係数、 $J_0(\cdot) \cdot J_1(\cdot)$ : 第1種0次・1次のBessel関数、 $\alpha_2$ : resistance factor [文献1)参照]、 $\phi$ : すべり摩擦抵抗力、 $r_0$ : 管半径。管の軸方向変位 $w_2^{(1)}$ は次式のように仮定する。

$$w_2^{(1)} = w_1' - u_1 \quad [\text{ただし}, \quad u_1 = U_1(z) e^{i(\omega t - k_1 z - \phi_0)} \text{とする。}] \quad \dots \quad (2)$$

ここに、 $u_1$ : すべり変位、 $\phi_0$ : 位相のずれ。

一方、管の軸方向運動方程式は次式で表わされる。

$$m(\partial^2 w_2^{(1)}/\partial t^2) = E_p S (\partial^2 w_2^{(1)}/\partial z^2) + i \cdot 8\zeta_s T_s e^{i(\omega t - k_1 z - \phi_0)} \quad \dots \quad (3)$$

ただし、 $m$ : 管の単位長質量、 $E_p$ : 管のYoung率、 $S$ : 管の実断面積。(1)-(2)式を(3)式に代入して整理すると次式となる。

$$(1 - \alpha_1/\alpha_2) [M_0 \xi - E_p S (\xi'' - 2i k_1 \xi')] w_1 \cos \phi - i(4\zeta_s/\pi\alpha_2) M_0 e^{-i\phi_0} = [M_0 U_1 - E_p S (U_1'' - 2i k_1 U_1') + i \cdot 8\zeta_s T_s] e^{-i\phi_0} \quad \dots \quad (4)$$

ここで、 $M_0 = -m \omega^2 + E_p S \beta_2^2$ 、 $\xi' = 2 \xi(z') / 2z$ 、 $\xi'' = 2^2 \xi(z') / 2z^2$ 、 $U_1' = \partial U_1(z) / \partial z$ 、 $U_1'' = \partial^2 U_1(z) / \partial z^2$ 。

ここで、 $U_1'' = U_1' = \xi'' = 0$ と近似すれば、すべり振幅 $U_1$ が次式のように求められる。

$$U_1 = -(4\zeta_s/\pi) S_2 + \sqrt{[(1 - \alpha_1 S_1) \xi - 2k_1 E_p S \xi' \alpha_1 S_2 / M_0]^2 + [\alpha_1 S_2 \xi + 2k_1 E_p S \xi' (1 - \alpha_1 S_1) / M_0]^2} |w_1|^2 \cos^2 \phi - (4\zeta_s/\pi)^2 (S_1 + 2\pi r_0 / M_0)^2 \quad \dots \quad (5)$$

ただし、 $U_1$ の存在条件は、 $|w_1| > w_{cr}$ であり、 $|w_1| < w_{cr}$ の場合、 $U_1 = 0$ とする。ここに、

$$w_{cr} = \frac{1}{\cos \phi} \sqrt{\frac{(4\zeta_s S_2 / \pi)^2 + [(4\zeta_s / \pi)(S_1 + 2\pi r_0 / M_0)]^2}{\{(1 - \alpha_1 S_1) \xi - 2k_1 E_p S \xi' \alpha_1 S_2 / M_0\}^2 + [\alpha_1 S_2 \xi + 2k_1 E_p S \xi' (1 - \alpha_1 S_1) / M_0]^2}} \quad \dots \quad (6)$$

および、 $\alpha_2 = \alpha + i\beta$ 、 $S_1 = \alpha / (\alpha^2 + \beta^2)$ 、 $S_2 = \beta / (\alpha^2 + \beta^2)$ 。同様に $e^{-i\phi}$ も導かれ、(2)式より管変位 $w_2^{(1)}$ を得る。管の横方向変位も従来と同様の手法で求まるので、P波による管歪の周波数応答関数 $G_1$ は次式で表わされる。

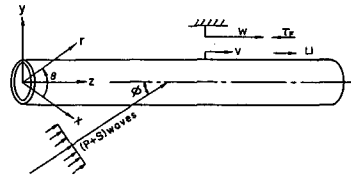


図1. 管路モデル

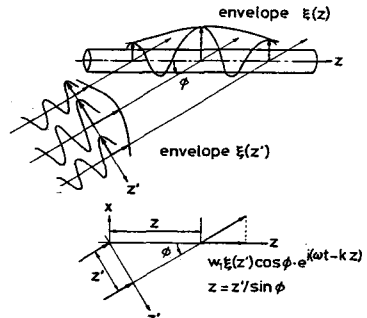


図2 振幅分布が一様でない入射波の模式図

$$G_1 = \left(1 - \alpha_1/d_2\right) \cos \phi \cdot i 8 \tau_0 T_S / M_0 \cdot (\beta' - i k_1 z) / \{U_1 + i \cdot 4 T_S / \pi \cdot (1/d_2 + 2 \pi \tau_0 / M_0)\} + \sin \phi \cdot r_0 H_{x1}(\omega) \{k_1^2 z + 2 i k_1 \beta'\} \quad \dots (7)$$

ただし、 $H_{x1}(\omega)$ ：P波に対する管の横方向周波数応答関数[文献1) 参照]。

次に管体と継手とが交互に周期的に接続した管を一様管路に等価的に置き換えて、継手伸縮量を管体のすべり量と継手部の前後端間の相対変位の和として推定すれば、その周波数応答関数 $P_1$ は次式のように表わされる。

$$P_1 = \left(1 - \frac{\alpha_1}{d_2}\right) \cos \phi \left[ \frac{U_1(l) \beta'(l) e^{-i k_1 l}}{U_1(0) + i \frac{4 T_S}{\pi} \left(\frac{l}{d_2} + \frac{2 \pi \tau_0}{M_0}\right)} - \frac{U_1(0) \beta'(0)}{U_1(0) + i \frac{4 T_S}{\pi} \left(\frac{l}{d_2} + \frac{2 \pi \tau_0}{M_0}\right)} + \frac{i \frac{8 \tau_0 T_S}{M_0} \beta'(e) \cdot e^{-i k_1 e}}{U_1(e) + i \frac{4 T_S}{\pi} \left(\frac{l}{d_2} + \frac{2 \pi \tau_0}{M_0}\right)} - \frac{i \frac{8 \tau_0 T_S}{M_0} \beta'(0)}{U_1(0) + i \frac{4 T_S}{\pi} \left(\frac{l}{d_2} + \frac{2 \pi \tau_0}{M_0}\right)} \right] \quad \dots (8)$$

ただし、 $l$ ：管長、 $e$ ：継手有効長。

S波入射の場合は、 $w_1 \cos \phi$ ,  $w_1 \sin \phi$ ,  $k_1 = \omega \cos \phi / v_s$  をそれぞれ  $-w_1 \sin \phi$ ,  $w_1 \cos \phi$ ,  $k_2 = \omega \cos \phi / v_s$  と置き換えれば、同様な手順より管歪・継手伸縮量の周波数応答関数 $G_2$ ,  $P_2$ が導かれるが、ここでは省略する。 $[w_1: S$  波変位振幅,  $k_1: S$  波の波数,  $v_s: S$  波速度]。P-S波が同時に入射するときの管歪 $\delta_p$ と継手伸縮量 $\alpha$ はこれらの周波数応答関数を用いて次式より求められる。

$$\delta = G_1 w_1 e^{i(\omega t - k_1 z)} + G_2 w_2 e^{i(\omega t - k_2 z)} \quad \dots (9)$$

$$\alpha = P_1 w_1 e^{i \omega t} + P_2 w_2 e^{i \omega t} \quad \dots (10)$$

3. 数値計算結果と考察 入射P-S波として El Centro強震記録のNS-EW成分のRMSを50 galに低減したものを用い、振幅を包絡する関数の一例としては図3に示すようなものを仮定した。諸量は土のせん断弾性係数 $M$ , 管半径 $r_0$ 等により無次元化して用い、管歪と継手伸縮量のRMS値 $\delta_p$ ,  $\alpha$ を数値計算した。図4は管歪 $\delta_p$ と入射角の関係であるが、振幅分布が一様でない場合は、振幅分布が一様な場合とほぼ同じ傾向が得られるものの、管歪はやや大きくなり、とくに入射波が管軸と直角に近い角度で入射するときでも $\delta_p$ は無視できず、振幅分布の不均一性に影響されることがわかる。図5より管半径が大きくなるほどすべりが発生しやすく、管歪が低下して管体の負担が軽減されている。また図5-6より、すべりがある程度進行すれば、 $\delta_p$ は一様分布の場合とほぼ等しくなり、低く抑えられる。図7より継手伸縮量に対する振幅分布の影響は、管歪に対するそれと当然逆の関係になっている。

\*参考文献 1) 秋吉・渕田：土木学会論文報告集、第334号、pp. 25~34, 1983. 2) 原田他：第17回地震工学研究発表会講演概要、pp. 99~102, 1983.

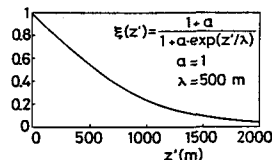


図3 入射波振幅分布の包絡線関数の一例

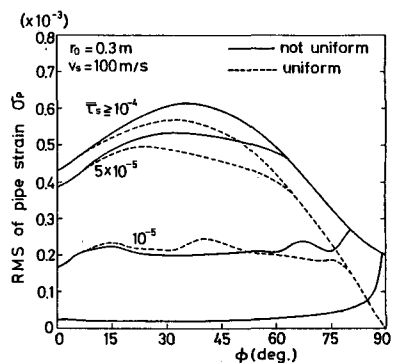


図4 管歪 $\delta_p$ と入射角 $\phi$ との関係

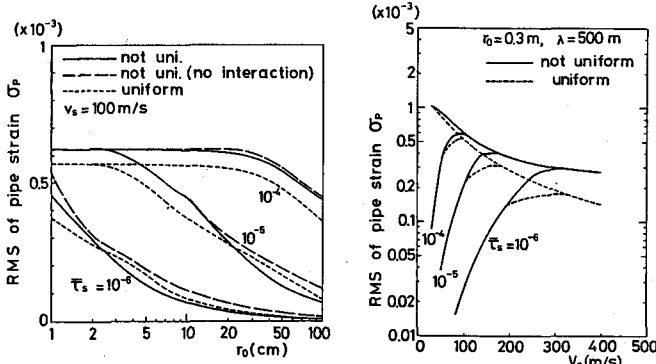


図5 管歪 $\delta_p$ と管半径 $r_0$ との関係

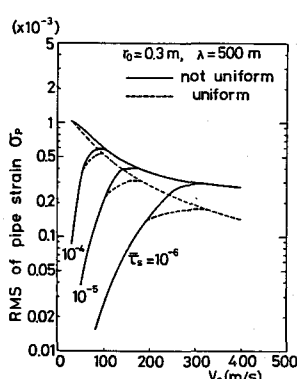


図6 管歪 $\delta_p$ と土のS波速度 $v_s$ との関係

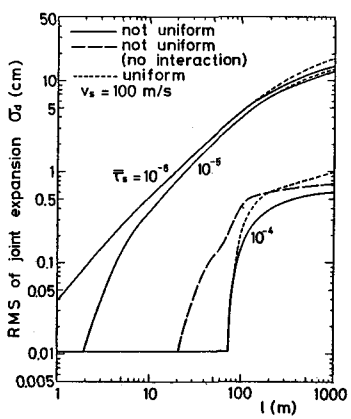


図7 継手伸縮量 $\alpha$ と管長 $l$ との関係